

بررسی تجربی تأثیر پارامترهای لیزر در شکل دهی ورق های فوم حفره بسته آلومینیم با استفاده از لیزر*

امیرحسین روحی^(۱) حسن مسلمی نائینی^(۲) محمد حسین پور گولو^(۳) مهدی سلطان پور^(۴)

چکیده در فرآیند شکل دهی با لیزر تشکیل گرادیان دمایی در راستای ضخامت ورق عامل ایجاد خم نهایی می باشد. ورق های فوم فلزی، به علت بروز شکست در حین تغییر شکل، توسط هیچ کدام از روش های مکانیکی قابل شکل دهی نمی باشد. در این مقاله، ورق های فوم حفره بسته آلومینیم تحت تابش لیزر قرار گرفته است. آزمایش ها با مقادیر متفاوت توان لیزر، سرعت پرتو و تعداد پاس های اسکن انجام گرفته است تا تأثیر هر کدام روی مقدار نهایی خم تعیین گردد. از طراحی آزمایش به شیوه رویه پاسخ و تحلیل واریانس نتایج به منظور تعیین تأثیر پارامترهای فرآیندی استفاده شده است. در انتها، رابطه ای برای پیش بینی مقدار زاویه خم در ورق فوم ارائه شده است.

واژه های کلیدی فرآیند شکل دهی با لیزر، فوم حفره بسته آلومینیم، طراحی آزمایش.

Experimental Investigation on Process Parameters Effects in Laser Forming of Closed-cell Aluminium Foam Sheets

A.H. Roohi H. Moslemi Naeini M. Hoseinpour Gollo M. Soltanpour

Abstract In a laser forming process, the temperature gradient across the sheet thickness produces the final bending angle. Metallic foams cannot be formed by any mechanical processes due to occurrence of failure during deformation. In this article, closed-cell aluminium foams are irradiated by a laser beam. Experiments are carried out by varying laser power, scan velocity and the number of scan passes to specify their effect on the bending angle. Design of experiment with the response surface methodology and analysis of variance are utilized to analyze parameter effects. At last, an equation is derived for prediction of bending angle.

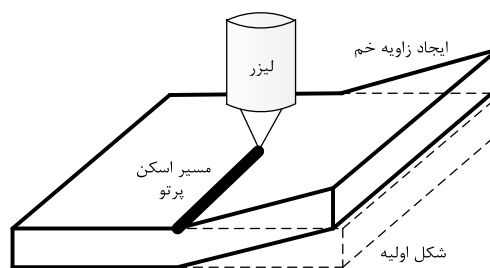
Key Words Laser forming process, Closed-cell aluminium foam, Design of experiment.

*تاریخ دریافت مقاله ۹۳/۶/۵ و تاریخ پذیرش آن ۹۳/۱۰/۳ می باشد.

- (۱) دانشجوی دکتری تخصصی، گروه ساخت و تولید، دانشکده مهندسی مکانیک، دانشگاه تربیت مدرس.
- (۲) نویسنده مسئول، استاد، گروه ساخت و تولید، دانشکده مهندسی مکانیک، دانشگاه تربیت مدرس. moslemi@modares.ac.ir
- (۳) استادیار، گروه ساخت و تولید، دانشکده مهندسی مکانیک، دانشگاه تربیت مدرس شهید رجایی.
- (۴) استادیار، دانشکده مهندسی مکانیک، دانشگاه بین المللی امام خمینی (ره).

مقدمه

فرآیند شکل‌دهی با استفاده از لیزر به‌طور شماتیک در شکل (۱) آورده شده است. در این فرآیند، قطعه‌کار تحت تابش پرتو لیزر، که با سرعت مشخص در سطح آن حرکت می‌کند، قرار می‌گیرد. در اثر ایجاد یک گرادیان دمایی در راستای ضخامت قطعه، تنش‌های حرارتی القا می‌شود که به ایجاد تغییرشکل پلاستیکی در ناحیه حرارت‌دیده می‌انجامد. پس از عبور لیزر، دمای قطعه پایین می‌آید و یک زاویه خم دائمی ایجاد می‌شود. تکرار تابش پرتو لیزر باعث افزایش زاویه خم می‌گردد [1].



شکل ۱ نمونه‌ای از فرآیند شکل‌دهی با استفاده از پرتو لیزر

فرآیند شکل‌دهی با لیزر در سال‌های اخیر به‌طور گسترده‌ای مورد بررسی قرار گرفته است. گیگر و ولرتسن [2] سه مکانیزم اصلی شکل‌دهی با لیزر را شامل مکانیزم گرادیان دمایی، مکانیزم خمش کمانشی و مکانیزم کوتاه‌کردن معرفی کرده‌اند. شیچون و جین‌سونگ [3] کلیه پارامترهای مؤثر بر شکل‌دهی نهایی ورق‌های فلزی را به سه دسته پارامترهای انرژی لیزر، پارامترهای جنس ماده و پارامترهای هندسی ورق تقسیم‌بندی نموده‌اند. گوان‌یانجین و همکارانش [4] مدلی را توسعه داده‌اند که تأثیر مشخصه‌های ماده نظیر مدول یانگ، استحکام تسلیم، ضریب انبساط حرارتی، گرمای ویژه ماده و ضریب رسانایی حرارتی را بر فرآیند شکل‌دهی با لیزر تعیین می‌نماید. جمیل و همکارانش [5] به‌طریق عددی، تأثیر انواع مختلف

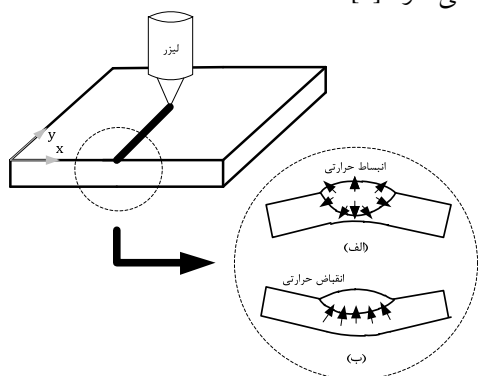
هندسه‌ی مستطیلی پرتو لیزر بر مشخصه‌های نهایی محصول را بررسی نموده‌اند. نتایج این بررسی نشان می‌دهد که هرچه طول سطح مقطع پرتو در راستای اسکن بزرگ‌تر باشد، میزان تغییرشکل افزایش می‌یابد. ادورادسن و همکارانش [6] به بررسی فرآیند شکل‌دهی دوبعدی چندپاسه با استفاده از لیزر پرداخته‌اند. در آن مطالعه نشان داده شده است که کرنش سختی، افزایش ضخامت سطح، تغییرات ضریب جذب پرتو و مشخصه‌های هندسی پرتو عواملی هستند که بر میزان زاویه خمش به‌دست آمده در هر پاس تأثیرگذار است. جین چنگ و همکارانش [7] تأثیر سرمای‌اجباری بر افزایش زاویه خمش حاصل در فرآیندهای چندپاسه را بررسی کردند. پنگ‌چنگ و همکارانش [8] شرایط فرآیندی در شکل‌دهی با لیزر ورق‌هایی را که دارای سطح مقطع متغیر در راستای مسیر اسکن هستند مطالعه کرده‌اند. گذار مکانیزم‌های مختلف سه‌گانه به یکدیگر به‌ازای تغییرات سطح مقطع در طول این بررسی مشاهده شده است. حسین‌پور گلو و همکارانش [9] به بررسی تأثیر پارامترهای فرآیندی، شامل مشخصه‌های ماده، قطر پرتو و طول زمان پالس بر میزان شکل‌دهی روی ورق‌های فولادی St12 و آلیاژ AISI 304 با استفاده از لیزر Nd:YAG، به‌روش طراحی آزمایش تاگوچی، پرداخته‌اند. شن و همکارانش [10] چگونگی تغییرات مشخصه‌های مکانیکی ورق‌های فولاد کم‌کربن را پس از تابش پرتو لیزر نشان داده‌اند. نتایج تجربی آنها بیان می‌کند که پس از فرآیند شکل‌دهی با لیزر، استحکام تسلیم و استحکام نهایی بهبود، و درصد افزایش طول شکست قطعات کاهش یافته است. فرآیند شکل‌دهی با لیزر مواد شکننده، شامل سیلیکون‌های تک‌کریستالی، شیشه بروسیلیکات و سرامیک Al_2O_3 با تابش دو نوع لیزر حالت گاز CO_2 و لیزر حالت جامد Nd:YAG توسط دانگ‌جیانگ‌وو و همکارانش [11] انجام گرفته است.

نتایج این تحقیق نشان می‌دهد که اعمال درجه حرارت‌های بالا مانع از بروز شکست ترد می‌گردد و هم‌چنین انتخاب دقیق و مناسب پارامترهای فرآیندی برای دست‌یابی به زاویه خمش در این دسته از مواد ضروری است. شی و همکارانش [12] یک روش حرارت‌دهی نوین برای شکل‌دهی دقت‌بالای صفحه‌های فلزی تحت مکانیزم کوتاه‌کردن ارائه کرده‌اند. نتیجه آن‌که هرچه قطر پرتو کوچک‌تر و سرعت اسکن لیزر بالاتر باشد، امکان تابش‌دهی هم‌زمان سطوح بالایی و پایینی ورق و دست‌یابی به شکل‌دهی دقیق فراهم می‌گردد. یانجین و همکارانش [13] اثر زاویه پرتو تابشی را، که بر میزان جذب پرتو لیزر تأثیرگذار است، برای کنترل زوایای خم به دست آمده از فرآیند، مطالعه نموده‌اند. نتیجه آن مطالعه نشان می‌دهد که با افزایش زاویه تابشی از ۶۰ به ۸۰ درجه، مقدار نهایی شکل‌دهی نیز افزایش می‌یابد. قدیری زهرانی و همکارانش [14] به بررسی پدیده‌های اثر لبه‌ای و اعوجاج طولی حین شکل‌دهی با لیزر پرداخته‌اند. آن‌ها نشان داده‌اند که با افزایش تعداد پاس‌های اسکن، ضخامت ورق، سرعت اسکن و توان لیزر میزان اثرات لبه‌ای کاهش یافته است. هم‌چنین، افزایش ضخامت ورق، سرعت اسکن و تعداد پاس‌ها می‌تواند به کاهش اعوجاج لبه‌ای منجر شود. فرآیند خم‌کاری با لیزر ورق‌های آلیاژ فولاد ضدزنگ AISI 304 توسط ماجی و همکارانش [15] بررسی گردیده است. در نتیجه‌ی این تحقیق، مقادیر بهینه پارامترهای فرآیندی به‌منظور دست‌یابی به بیشینه زاویه خمش در این دسته از ورق‌ها تعیین شده است. صفری و همکارانش [16] به بررسی شکل‌دهی با لیزر ورق‌های ماشین‌کاری شده تیلور (TMB) پرداخته‌اند. با توجه به تغییرات گسسته ضخامت در این ورق‌ها، خم‌کاری با لیزر آن‌ها در مقایسه با ورق‌های یکنواخت پیچیده‌تر می‌باشد. بنابراین، اعمال یک طرح موسوم به روش بهبودیافته سرعت می‌تواند باعث دست‌یابی به

شکل‌دهی یکنواخت‌تر این ورق‌ها گردد. علاوه‌براین، پژوهش‌های محدودی در زمینه شکل‌دهی ورق‌های آلومینیم و آلیاژهای آن شده است. مرکلین و همکارانش [17] به بررسی میکروساختار ورق‌های آلومینیم پس از اعمال شکل‌دهی با لیزر پرداخته‌اند. تغییرات مشخصه‌های مکانیکی آلومینیم در این بررسی مورد توجه قرار گرفته است. لایبیز [18] یک مدل عددی برای شبیه‌سازی شکل‌دهی با لیزر ورق‌های آلومینیم توسعه داده است. در این مدل، از یک روش تحلیل هم‌زمان ساختاری-حرارتی به‌منظور شبیه‌سازی فرآیند استفاده شده است. یوان کین و همکارانش [19] از یک مدل ریاضی برای بررسی حرارت‌دهی ورق‌های Al2024 توسط لیزر ND:YAG استفاده کرده‌اند. این مدل، یک شکست پلاستیک در لایه‌های بالاتر ورق آلومینیمی را پیش‌بینی می‌کند. ناپفر و همکارانش [20] به بررسی تأثیر تابش لیزر بر مشخصه‌های مکانیکی و متالورژیکی آلیاژهای آلومینیم پرداخته‌اند. روحی و همکارانش [21] تأثیر اعمال یک نیروی مکانیکی کمکی در کنار تابش پرتو لیزر به‌منظور دست‌یابی به زوایای خم بالا در ورق‌های آلومینیم را مورد مطالعه قرار داده‌اند. نتیجه این پژوهش نشان می‌دهد که اعمال نیروی کمکی می‌تواند تا یک‌سوم به افزایش شکل‌دهی نهایی ورق بیانجامد.

ورق‌های فوم فلزی دسته جدیدی از مواد است که به‌خصوص در دهه‌های اخیر، به‌علت مشخصه‌های مناسب فیزیکی و مکانیکی نظیر چگالی پایین، هم‌زمان سفتی بالا و ویژگی‌های حرارتی مناسب مورد توجه قرار گرفته است [22]. از این مواد در ساخت سازه‌های سبک و هم‌چنین جذب‌کننده انرژی استفاده می‌گردد. فوم‌های فلزی، به‌ویژه فوم‌های آلومینیم، به‌طور گسترده در صنایع خودروسازی، دفاعی و هوافضا کاربرد دارد [23]. در زمینه شکل‌دهی با لیزر ورق‌های فوم فلزی، یک مطالعه توسط کوادرینی و همکارانش [24] انجام شده است. در این مطالعه، از لیزر دیودی به‌منظور

به لایه‌های پایین، یک گرادیان دمایی بزرگ در راستای ضخامت ورق ایجاد می‌شود که انبساط حرارتی متفاوت لایه‌های ورق را به دنبال دارد. بنابراین، یک خمش منفی اتفاق می‌افتد (شکل ۲. الف) که سبب ایجاد مقادیر کوچک کرنش‌های کششی پلاستیکی در سطح حرارت دیده می‌گردد. با ادامه حرارت‌دهی، در اثر افزایش درجه حرارت، استحکام ناحیه تحت تابش پرتو کمتر می‌شود. زمانی که تنش حرارتی به مقدار تنش سیلان ماده برسد، هر انبساط حرارتی بیشتر تبدیل به کرنش فشاری پلاستیکی می‌گردد؛ زیرا که انبساط آزاد ناحیه حرارت دیده توسط مواد اطراف آن محدود شده است. در مرحله سرمایش، ماده در لایه‌های بالایی دچار انقباض می‌شود. هم‌چنین به علت آن‌که این نواحی تحت فشار قرار داشتند، یک کوتاه‌شدگی موضعی در لایه‌های بالایی ورق و متعاقب آن، یک زاویه خم دائمی به وجود می‌آید (شکل ۲. ب). مقدار زاویه خم نهایی به چگونگی انتخاب پارامترهای فرآیند بستگی دارد [1].



شکل ۲ شمایی از مکانیزم گرادیان دمایی؛ (الف) خم منفی، (ب) خم دائمی ورق

آزمایش‌های تجربی

برای انجام آزمایش‌های تجربی از دستگاه لیزر پالسی دی‌اکسیدکربن بای‌استرانیک با بیشینه توان ۳۰۰۰ وات و قطر لیزر ۵ میلی‌متر استفاده شد. هم‌چنین، ورق‌های فوم آلومینیم با استفاده از دستگاه وایرکات به ابعاد ۵۰

خم کردن فوم‌های حفره‌باز آلومینیم با چگالی‌های مختلف استفاده شده است.

در مقاله حاضر، فوم‌های حفره‌بسته آلومینیم، که به کمک هیچ‌کدام از روش‌های شکل‌دهی مکانیکی قابلیت شکل‌دهی ندارد، با اعمال پرتو لیزر مورد شکل‌دهی قرار گرفته است. هم‌چنین تأثیر سه پارامتر توان لیزر، سرعت اسکن پرتو و تعداد پاس‌های اسکن بررسی شده است. به منظور تعیین دقیق تأثیر پارامترهای اشاره‌شده روی زاویه خم نهایی در ورق‌های فوم حفره‌بسته آلومینیم از روش آنالیز واریانس (ANOVA) استفاده شده است. هم‌چنین از روش طراحی آزمایش به شیوه روبه پاسخ (RSM) به منظور کاهش تعداد آزمایش‌ها بهره گرفته شده است. تعداد ۲۰ آزمایش بر روی ورق‌های فوم آلومینیم انجام شده است و در نهایت، رابطه‌ای برای پیش‌بینی زاویه خمش، که تابعی از پارامترهای مورد بررسی می‌باشد، ارائه شده است.

فرآیند خم کاری با لیزر

مکانیزم‌های شکل‌دهی با لیزر، براساس توزیع دمایی القا شده در اثر تابش لیزر مشخص می‌شود. توزیع دمایی در قطعه به پارامترهای فرآیند نظیر توان لیزر، قطر پرتو و غیره بستگی دارد. مکانیزم‌های فرآیند خم کاری با لیزر به سه صورت است: مکانیزم گرادیان دمایی، مکانیزم خمش کمانشی و مکانیزم کوتاه‌کردن [1]. در انجام آزمایش‌های تجربی و هم‌چنین شبیه‌سازی‌های عددی، پارامترهای فرآیند به گونه‌ای انتخاب شده است که مکانیزم غالب شکل‌دهی از نوع مکانیزم گرادیان دمایی می‌باشد. این مکانیزم در شکل (۲) نشان داده شده است.

مکانیزم گرادیان دمایی رایج‌ترین مکانیزم فرآیند خم کاری با لیزر است. در اثر حرارت‌دهی نسبتاً سریع سطح قطعه‌کار توسط پرتو لیزر و رسانایی حرارتی آرام



شکل ۵ ورق فوم آلومینیم خم شده با استفاده از لیزر

نتایج و بحث

در انجام آزمایش‌های تجربی از طراحی آزمایش به روش ترکیب مرکزی استفاده شده است. در طی این آزمایش‌ها، با شناسایی عوامل مؤثر بر زاویه خم، رابطه‌ای بین پارامترهای ورودی و متغیر پاسخ استخراج می‌گردد. در طراحی آزمایش به شیوه ترکیب مرکزی، پنج سطح به‌ازای هر پارامتر ورودی شامل توان لیزر، سرعت اسکن و تعداد پاس تعریف می‌گردد. پارامترهای ذکر شده و سطوح متناظر آن در جدول (۱) آورده شده است. به این ترتیب، تعداد نقاط طراحی به شیوه ترکیب مرکزی برابر با $n = 2^k + 2k + n_0 = 2^3 + 2(3) + 6 = 20$ خواهد بود. در این رابطه، n برابر تعداد آزمایش‌های لازم، k تعداد پارامترهای ورودی و n_0 برابر تعداد نقاط مرکزی است که به منظور ایجاد دقت کافی برابر ۶ انتخاب شده است.

ترتیب انجام بیست آزمایش به صورت تصادفی‌سازی شده انجام می‌شود. هدف از تصادفی‌سازی، به حداقل رساندن تأثیر کلیه عوامل احتمالی بیرونی بر نتیجه آزمایش است. ترتیب انجام آزمایش‌ها و نتایج به‌دست آمده از آن در جدول (۲) نشان داده شده است.

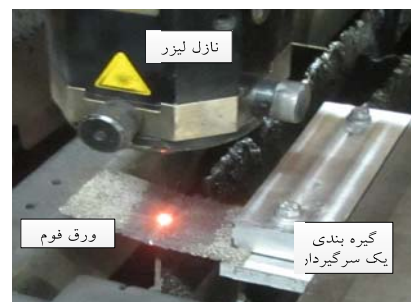
جدول ۱ پارامترهای مورد بررسی و سطوح آن

پارامتر	واحد	سطح اول	سطح دوم	سطح میانی	سطح چهارم	سطح پنجم
توان	watt	90	120	150	180	210
سرعت	mm/min	1000	2000	3000	4000	5000
پاس	-	5	10	15	20	25

میلی‌متر در ۱۰۰ میلی‌متر و با ضخامت ۵ میلی‌متر تهیه گردید. اندازه متوسط حفره‌های ورق فوم برابر یک میلی‌متر و چگالی متوسط ورق‌های آزمایش شده برابر ۰/۴ چگالی آلومینیم می‌باشد. یادآوری می‌شود که اندازه متوسط حفره‌ها با استفاده از پردازش تصویر تعیین گردیده است. برای ممانعت از حرکت ورق در حین فرآیند، از یک بست به منظور ایجاد گیره‌بندی یک‌سرگيردار استفاده شده است. تصویر نمونه‌های برش شده و هم‌چنین، ورق‌های فوم حفره‌بسته آلومینیم در حین انجام فرآیند شکل‌دهی با لیزر، به ترتیب، در شکل (۴ و ۳) نشان داده شده است. یکی از پیچیدگی‌های تابش لیزر بر ورق‌های از جنس آلومینیم کوچک بودن ضریب جذب آن است که امکان تشکیل گرادیان دمایی در راستای ضخامت ورق را محدود می‌کند [21]. به منظور افزایش ضریب جذب پرتو توسط قطعه کار از پوشش‌دهی توسط اسپری گرافیت استفاده شده است. پس از انجام آزمایش‌ها و شکل‌دهی ورق‌های آلومینیم، اندازه‌گیری مقدار زاویه خمش نهایی ورق‌ها با استفاده از دستگاه زاویه‌سنج انبوسال با دقت ۵ دقیقه انجام شده است. نمونه‌ای از ورق‌های فوم خم شده با استفاده از لیزر در شکل (۵) نشان داده شده است.



شکل ۳ ورق فوم حفره‌بسته آلومینیم وایرکات شده



شکل ۴ ورق فوم آلومینیم در حین شکل‌دهی با لیزر

جدول ۲ داده‌های آزمایش صورت گرفته با اعمال ترتیب تصادفی

زاویه خمش	عامل سوم: تعداد پاس	عامل دوم: سرعت [میلی متر بر دقیقه]	عامل اول: توان [وات]	شماره آزمایش	شماره تصادفی
3.00	5	3000	150	1	13
1.75	10	4000	120	2	3
3.75	15	5000	150	3	12
5.75	10	2000	180	4	2
5.48	15	3000	150	5	15
4.78	15	3000	150	6	17
5.35	15	3000	150	7	16
7.25	10	4000	180	8	4
11.00	25	3000	150	9	14
11.00	20	4000	180	10	8
1.75	10	2000	120	11	1
6.00	20	2000	120	12	5
7.25	20	4000	120	13	7
1.50	15	3000	90	14	9
4.92	15	3000	150	15	20
6.25	15	1000	150	16	11
9.58	15	3000	210	17	10
5.84	15	3000	150	18	19
9.08	20	2000	180	19	6
4.15	15	3000	150	20	18

انتخاب مدل برازش

مدل برازش به صورت مجموع تعداد متناهی جمله تعریف می‌شود. هر جمله عبارت از حاصل ضرب ضریب تأثیر عوامل ورودی در خود عوامل می‌باشد. این مدل، طبق معادله (۱) تعریف می‌شود.

$$y = \beta_0 + \beta_1 A + \beta_2 B + \beta_{12} AB + \dots \quad (1)$$

در این رابطه، β_i ضریب تأثیر عامل ورودی و A, B, \dots نیز عوامل مؤثر ورودی بر پاسخ می‌باشد. در مدل برازش، از جملات و پارامترهایی استفاده می‌شود که دارای تأثیر معنی‌دار بر پاسخ آزمایش باشد. برای انتخاب بهترین مدل، از نرم‌افزار Design Expert 7.0.0 استفاده شده است. در این مرحله، محاسبه رگرسیون به منظور برازش تمام مدل‌های چندجمله‌ای از پارامتر خروجی انجام می‌گیرد. به طور کلی، بهترین مدل برازش مربوط است به

الف) چندجمله‌ای معنی‌دار (به عبارت دیگر، مقدار p -value کوچک) با بیشینه درجه (جدول ۳)؛

ب) فقدان عدم برازش (یعنی مقدار $\text{Prob}>F$ مطابق جدول (۴) بزرگ‌تر از 0.1 باشد).

ج) تطابق قابل قبولی بین مقدار Adjusted R-Squared و Predicted R-Squared وجود داشته باشد (یعنی مطابق جدول (۵) اختلاف این دو مقدار کمتر از 0.2 باشد).

لازم به یادآوری است که مقدار سطح اطمینان در تحقیق حاضر برابر 95% انتخاب شده است؛ این بدان معناست که مقادیر p -value کوچک‌تر از 0.05 نشان‌دهنده معنی‌دار بودن مدل است [25].

جدول ۳ مجموع مربع‌های مدل‌ها

مدل	جمع مربعات	df	مربع میانگین	F Value	p-value
Mean	666.20	1	666.20	-	-
Linear	133.34	3	44.45	38.66	$\leq 0.000.1$
2FI	1.83	3	0.61	0.48	0.7029
Quadratic	7.37	3	2.46	2.67	0.1042
Cubic	5.98	4	1.49	2.78	0.1266
Residual	3.22	6	0.54	-	-
Total	817.95	20	40.90	-	-

جدول ۴ بررسی عدم برازش مدل‌ها

مدل	جمع مربعات	df	مربع میانگین	F Value	Prob>F
Linear	16.61	11	1.51	4.22	0.0622
2FI	14.78	8	1.85	5.16	0.0437
Quadratic	7.40	5	1.48	4.13	0.0727
Cubic	1.43	1	1.43	3.99	0.1023
Pure Error	1.79	5	0.36	-	-

جدول ۵. بررسی کلی مدل‌ها

مدل	Std. Dev.	R-Squared	Adjusted R-Squared	Predicted R-Squared	PRESS
Linear	1.07	0.8788	0.8560	0.7947	31.15
2FI	1.13	0.8908	0.8404	0.6623	51.24
Quadratic	0.96	0.9394	0.8849	0.5798	63.77
Cubic	0.73	0.9788	0.9328	-0.9498	298.87

آخرین مرحله بررسی کلی مدل‌ها است (جدول ۵). پارامتر Std. Dev. انحراف استاندارد خطای طراحی را تخمین می‌زند. هرچه مقدار این پارامتر کوچک‌تر باشد مطلوب‌تر است. پارامترهای R-Squared و Adjusted R-Squared نسبت توضیح‌پذیری تغییرات مقادیر آزمایش توسط مدل انتخابی را مشخص می‌کند. هرچه این نسبت به یک نزدیک‌تر باشد قدرت توضیح‌پذیری مدل بیشتر است. پارامتر Predicted R-Squared تغییرات سایر مقادیر که توسط مدل پیش‌بینی می‌شود را تخمین می‌زند. مشابه به دو پارامتر قبلی، نزدیک‌تر بودن این پارامتر به مقدار واحد مطلوب می‌باشد. در نهایت، Press نشان‌دهنده چگونگی برازش داده‌های آزمایش است. انتخاب کوچک‌ترین مقدار Press نسبت به سایر مدل‌ها موردنظر می‌باشد [25].

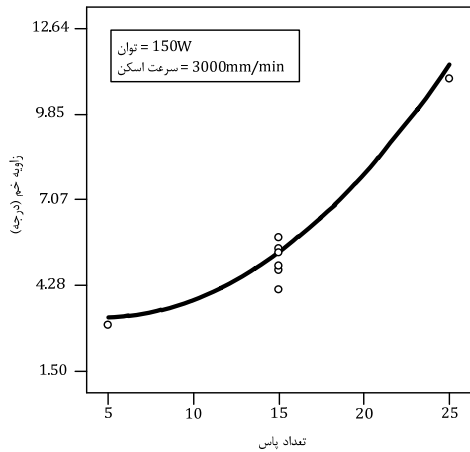
با درنظر گرفتن کلیه شرایط ذکر شده، مدل چندجمله‌ای خطی به‌عنوان مدل برازش انتخاب می‌شود و به‌منظور جبران عدم برازش، جمله‌های مربع پارامترها به این مدل افزوده می‌گردد؛ به‌گونه‌ای که عدم برازش غیرمعنی‌دار حاصل گردد.

تأثیر پارامترهای فرآیند

تأثیر هرکدام از پارامترهای مورد بررسی بر زاویه خمش در شکل‌های (۸-۶) آورده شده است. با افزایش توان لیزر، زاویه خم به‌طور قابل توجه افزایش می‌یابد (شکل ۶). افزایش توان لیزر به معنای افزایش انرژی ورودی و تأثیرگذاری بیشتر لیزر است. درواقع، هرچه توان افزایش می‌یابد، دمای لایه بالایی ورق بیشتر می‌شود و گرادپان دمایی افزایش می‌یابد و در نتیجه

میزان معنی‌داری به‌ازای افزودن جمله‌های جدید می‌باشد. هرچه مقدار این پارامتر بزرگ‌تر باشد، اضافه‌کردن این جمله‌ها و افزایش مرتبه چندجمله‌ای به برازش دقیق‌تر پاسخ‌ها می‌انجامد. پارامتر p-value شاخص بهبود مدل پس از افزودن جمله‌های موردنظر است. هرچه مقدار این پارامتر کوچک‌تر باشد (حداکثر مقدار قابل قبول برابر 0.05 است)، نشان‌دهنده بالاتر بودن میزان بهبودی مدل است. با درنظر گرفتن این شرایط، تا به این جا، مدل خطی بهترین مدل قابل استفاده می‌باشد.

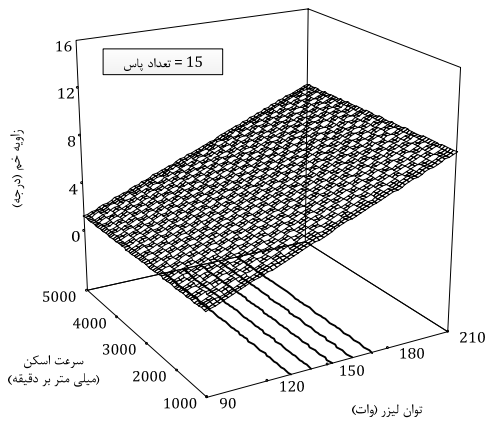
مرحله بعد بررسی عدم برازش مدل‌ها است (جدول ۴). این بررسی میزان مناسب بودن هرکدام از مدل‌های یادشده را در برازش دقیق نتایج نشان می‌دهد. به‌عبارت دیگر، اگر مدل دارای عدم برازش معنی‌دار باشد، به‌منظور پیش‌بینی تأثیر پارامترها مناسب نمی‌باشد. در این جدول، پارامتر F-value تغییرات اختلاف مقادیر میانگین در نقاط طراحی و پاسخ‌های متناظر تخمین‌شده توسط مدل را با تغییرات آزمایش‌های صورت‌گرفته حاصل از نقاط مرکزی طراحی (خطای خالص) مقایسه می‌نماید. بر این اساس، هرچه مقدار F-value در این بررسی کوچک‌تر باشد، و مقدار $Prob>F$ بزرگ‌تر از 0.1 باشد، عدم برازش کمتری اتفاق خواهد افتاد و پیش‌بینی مدل قابل‌اعتمادتر می‌گردد. در نتیجه، مطابق با جدول، مدل خطی برای پیش‌بینی نتایج قابل قبول نمی‌باشد. برای رفع این مشکل، جمله‌های مربوط به سایر مدل‌ها که واجد شرایط ذکر شده است به مدل خطی افزوده می‌شود. عدم برازش مدل حاصل در قسمت تحلیل واریانس دوباره بررسی می‌گردد.



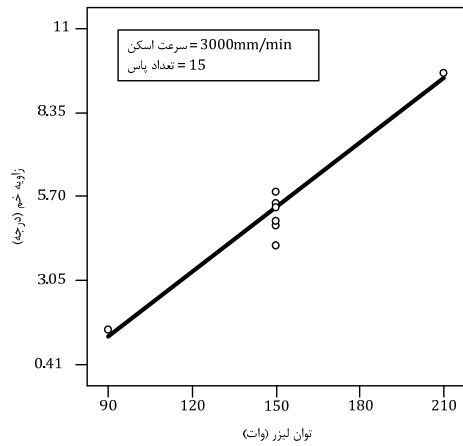
شکل ۸ تأثیر تعداد پاس اسکن بر زاویه خم

زاویه خم بیشتر می گردد. تأثیر سرعت اسکن بر زاویه خم در شکل (۷) آورده شده است. به طور کلی، سرعت بر میزان انرژی وارد در طول مسیر تأثیر می گذارد. در محدوده بررسی شده عملاً تأثیر سرعت بر زاویه خم ناچیز است. هم چنین، به طور طبیعی با افزایش تعداد پاس، بر زاویه خم افزوده می شود (شکل ۸). افزایش تعداد پاس به معنای تکرار تابش لیزر است و افزایش مقدار شکل دهی را به همراه دارد.

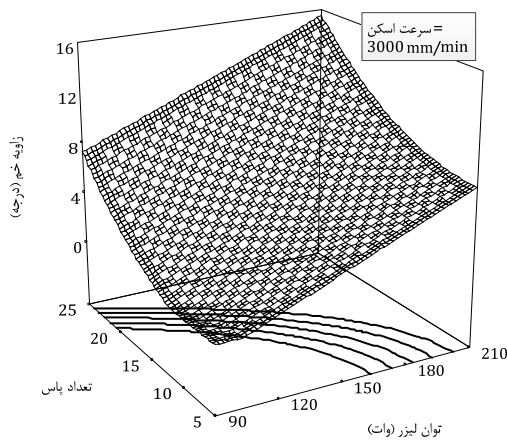
هم چنین نمودار تأثیر دوتایی پارامترها بر مقدار نهایی زاویه خم در شکل های (۹-۱۱) نشان داده شده است.



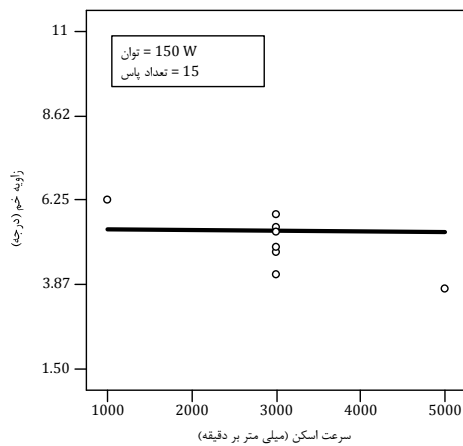
شکل ۹ تأثیر توان و سرعت اسکن بر زاویه خم



شکل ۶ تأثیر توان لیزر بر زاویه خم

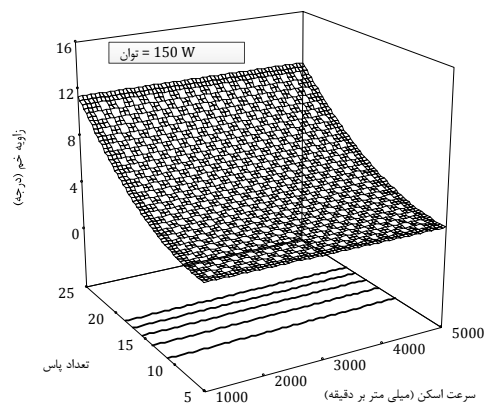


شکل ۱۰ تأثیر توان و تعداد پاس بر زاویه خم

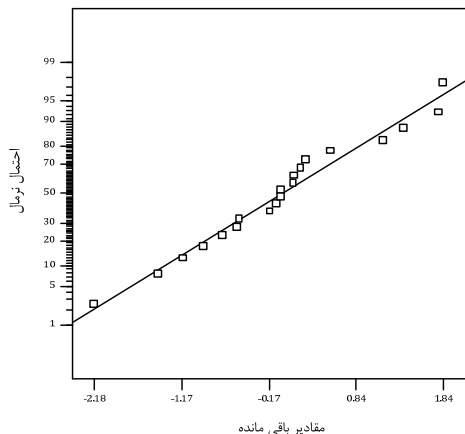


شکل ۷ تأثیر سرعت اسکن بر زاویه خم

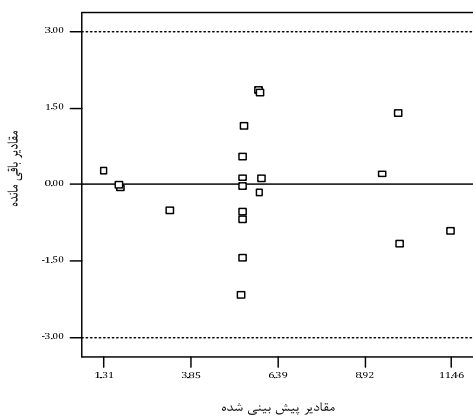
نمودار نشان‌دهنده ثابت بودن واریانس است [25].
تحلیل کامل واریانس مدل استفاده شده در جدول (۶) آورده شده است. هم‌چنان که در جدول مشاهده می‌شود کلیه شرط‌های اشاره‌شده در بخش انتخاب مدل برازش در مدل نهایی ارضا گردیده است.



شکل ۱۱ تأثیر سرعت و تعداد پاس بر زاویه خمش



شکل ۱۲ نمودار احتمال نرمال برحسب مقادیر باقی مانده



شکل ۱۳ نمودار مقادیر باقی مانده برحسب مقادیر برازش شده

تحلیل واریانس نتایج آزمایش

شکل‌های (۶-۱۱) برای نتیجه‌گیری قطعی استفاده نمی‌شود. به منظور تأیید اثرات نشان داده‌شده عوامل، از تحلیل واریانس استفاده می‌شود. تحلیل واریانس، پرکاربردترین نوع تحلیل برای بررسی اثر متغیرهای ورودی بر پاسخ فرآیند است. این تحلیل با فرض نرمال بودن توزیع خطا، ثابت بودن واریانس و استقلال آن انجام می‌شود. پیش از استفاده از این روش تحلیل، صحت فرض‌های اشاره شده بررسی می‌گردد. به این منظور، نمودار احتمال نرمال مقادیر باقی مانده در شکل (۱۲) آورده شده است. این نمودار نشان می‌دهد که آیا مقادیر باقی مانده (خطا) از یک مدل توزیع نرمال پیروی می‌کند یا خیر [25]. پراکنندگی نقاط آزمایش در اطراف خط مورب، پیروی نتیجه طراحی آزمایش صورت گرفته از مدل توزیع نرمال را نشان می‌دهد.

نمودار مقادیر باقی مانده در برابر نقاط برازش یافته در شکل (۱۳) مشخص شده است. پراکنندگی نقاط طراحی و عدم وجود یک ساختار منظم در نقاط این

جدول ۶ تحلیل واریانس مدل استفاده شده

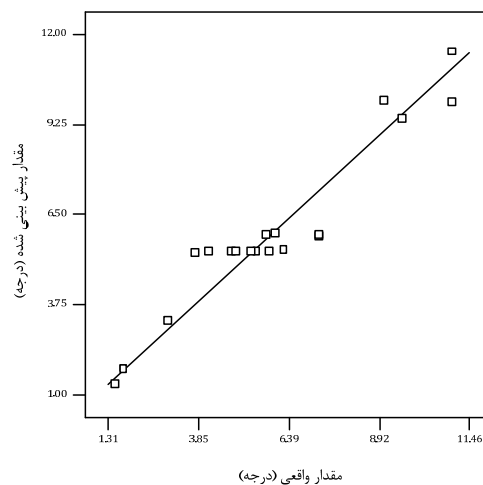
مدل	جمع مربعات	df	مربع میانگین	F Value	p-value	
Model	140.03	4	35.01	44.84	<0.0001	معنی دار
A-Power	65.98	1	65.98	84.51	<0.0001	-
B-Scan vel.	6.806E-3	1	6.806E-3	8.71E-3	0.9268	-
C-no. pass	67.36	1	67.36	86.29	<0.0001	-
C2	6.69	1	6.69	8.56	0.0104	-
Residual	11.71	15	0.78	-	-	-
Lack of Fit	9.92	10	0.99	2.77	0.1362	غیر معنی دار
Pure Error	1.79	5	0.36	-	-	-
Cor Total	151.74	19	-	-	-	-

تعیین رابطه نهایی پیش‌بینی زاویه خمش

اکنون که صحت مدل استفاده‌شده مورد تأیید واقع شده است، می‌توان رابطه زاویه خمش در ورق‌های فوم حفره‌بسته آلومینیم را که توسط این مدل پیش‌بینی می‌شود قابل اطمینان دانست. طبق مدل استفاده‌شده، رابطه زاویه خمش مطابق رابطه (۲) تعریف می‌گردد.

$$\begin{aligned} \text{Bending angle} &= -6.4097 \\ &+ 0.0676 \times P - 2.0625E - 005 \times v \\ &- 0.1846 \times n + 0.0198 \times n^2 \end{aligned} \quad (2)$$

در رابطه فوق، P برابر توان لیزر برحسب وات، v برابر سرعت اسکن پرتو برحسب میلی‌متر بر دقیقه و n تعداد پاس‌های اسکن است.



شکل ۱۴ نمودار مقادیر زاویه خمش پیش‌بینی شده برحسب مقادیر واقعی

نمودار مربوط به مقادیر واقعی زاویه خمش در مقابل مقادیر پیش‌بینی شده توسط رابطه (۲) در شکل (۱۴) آورده شده است. پراکندگی نقاط آزمایش در اطراف خط مورب ۴۵ درجه نشان‌دهنده پیش‌بینی مناسب مدل حاصل است [25].

نتیجه‌گیری

در این مقاله، فرآیند شکل‌دهی ورق‌های فوم حفره‌بسته آلومینیم با استفاده از لیزر انجام گرفته است. با توجه به استحکام پایین کششی این دسته از ورق‌ها عملاً امکان شکل‌دهی آن‌ها با استفاده از روش‌های رایج مکانیکی وجود ندارد. فرآیند شکل‌دهی با لیزر به‌عنوان یک روش شکل‌دهی حرارتی امکان‌خیزم ورق‌های فوم فلزی را فراهم آورده است. آنچه بر میزان شکل‌دهی نهایی با استفاده از این روش می‌انجامد تعیین‌کننده دقیق پارامترهای مؤثر می‌باشد. به این ترتیب، سه پارامتر فرآیندی که مربوط به پرتو لیزر است شامل توان لیزر، سرعت اسکن پرتو و تعداد پاس‌های اسکن موردنظر قرار گرفت و تأثیر آن روی مقدار نهایی زاویه خم تعیین گردید. همچنین رابطه‌ای برای پیش‌بینی زاویه خمش ورق‌های فوم حفره‌بسته آلومینیم ارائه شده است. به‌طور کلی، افزایش توان لیزر به‌علت افزایش انرژی ورودی به افزایش زاویه خم می‌انجامد. افزایش تعداد پاس نیز به افزایش زاویه خم منجر می‌شود. هرچند، با شیب بسیار کم، بین سرعت اسکن و زاویه خم رابطه معکوس برقرار است. تأثیر پارامترهای فرآیندی مورد اشاره بر زاویه خمش به‌طور خلاصه عبارت است از:

۱. با افزایش توان لیزر از ۹۰ وات به ۲۱۰ وات، با فرض ثابت ماندن سایر پارامترها، زاویه خم از مقدار ۱.۳۱ درجه به ۹.۴۳ درجه افزایش یافته است.
۲. افزایش سرعت اسکن از ۱۰۰۰ میلی‌متر بر دقیقه به ۵۰۰۰ میلی‌متر بر دقیقه باعث کاهش ملایم زاویه خم از ۵.۴۱ درجه به ۵.۳۳ درجه می‌شود.
۳. افزایش تعداد پاس لیزر از ۵ به ۲۵، زاویه خم را ۳.۲۵ درجه به ۱۱.۴۶ درجه افزایش می‌دهد.

مراجع

1. Zhang, X., "Laser-assisted High Precision Bending and its Applications", Mechanical Engineering; Industrial Engineering Board, Dissertation/Thesis No. 3154677, Indiana, (2004).
2. Geiger, M. and Vollertsen, F., "The Mechanisms of Laser Forming", CIRP Annals - Manufacturing Technology, Vol. 42, 301-304, (1993).
3. Shichun, W. and Jinsong, Z., "An experimental study of laser bending for sheet metals", Journal of Materials Processing Technology, Vol. 110, pp. 160-163, (2001).
4. Guan, Y., Sun, S., Zhao, G. and Luan, Y., "Influence of material properties on the laser-forming process of sheet metals", Journal of Materials Processing Technology, Vol. 167, pp. 124-131, (2005).
5. Che Jamil, M.S., Sheikh, M.A. and Li, L., "A study of the effect of laser beam geometries on laser bending of sheet metal by buckling mechanism", Optics & Laser Technology, Vol. 43, pp. 183-193, (2011).
6. Edwardson, S.P., Abed, E., Bartkowiak, K., Dearden, G. and Watkins, K.G., "Geometrical influences on multi-pass laser forming", Journal of Physics D: Applied Physics, Vol. 39, pp. 382, (2006).
7. Cheng, J. and Lawrence Yao, Y., "Cooling Effects in Multiscan Laser Forming", Journal of Manufacturing Processes, Vol. 3, pp. 60-72, (2001).
8. Cheng, P., Fan, Y., Zhang, J., Yao, Y.L., Mika, D.P., Zhang, W., Graham, M., Marte, J. and Jones, M., "Laser Forming of Varying Thickness Plate—Part I: Process Analysis", Journal of Manufacturing Science and Engineering, Vol. 128, pp. 634-641, (2005).
9. Hoseinpour Gollo, M., Mahdavian, S.M. and Moslemi Naeni, H., "Statistical analysis of parameter effects on bending angle in laser forming process by pulsed Nd:YAG laser", Optics & Laser Technology, Vol. 43, pp. 475-482, (2011).
10. Shen, H. and Yao, Z., "Study on mechanical properties after laser forming", Optics and Lasers in Engineering, Vol. 47, pp. 111-117, (2009).
11. Wu, D., Zhang, Q., Ma, G., Guo, Y. and Guo, D., "Laser bending of brittle materials", Optics and Lasers in Engineering, Vol. 48, pp. 405-410, (2010).
12. Shi, Y., Liu, Y., Yi, P. and Hu, J., "Effect of different heating methods on deformation of metal plate under upsetting mechanism in laser forming", Optics & Laser Technology, Vol. 44, pp. 486-491, (2012).
13. Guan, Y., Zhang, H., Liu, J. and Sun, S., "Laser micro-bending process based on the characteristic of the laser polarization", Journal of Materials Processing Technology, Vol. 212, pp. 662-671, (2012).
14. Ghadiri Zahrani, E. and Marasi, A., "Experimental investigation of edge effect and longitudinal distortion in laser bending process", Optics & Laser Technology, Vol. 45, pp. 301-307, (2013).
15. Maji, K., Pratihari, D.K. and Nath, A.K., "Experimental investigations and statistical analysis of pulsed laser bending of AISI 304 stainless steel sheet", Optics & Laser Technology, Vol. 49, pp. 18-27, (2013).
16. Safari, M. and Farzin, M., "Experimental and numerical investigation of laser bending of tailor machined blanks", Optics & Laser Technology, Vol. 48, pp. 513-522, (2013).
17. Merklein, M., Hennige, T. and Geiger, M., "Laser forming of aluminium and aluminium alloys — microstructural investigation", Journal of Materials Processing Technology, Vol. 115, pp. 159-165, (2001).
18. Labeas, G.N., "Development of a local three-dimensional numerical simulation model for the laser forming process of aluminium components", Journal of Materials Processing Technology, Vol. 207, pp. 248-257, (2008).

19. Qin, Y., Chen, Y., Ni, X., Shen, Z., Bi, J. and Zhang X., "Axisymmetric numerical simulation of plastic damage in aluminum alloy induced by long pulsed laser", *Optics and Lasers in Engineering*, Vol. 48, pp. 361-367, (2010).
20. Knupfer, S.M. and Moore, A.J., "The effects of laser forming on the mechanical and metallurgical properties of low carbon steel and aluminium alloy samples", *Materials Science and Engineering: A*, Vol. 527, pp. 4347-4359, (2010).
21. Roohi, A.H., Gollo, M.H. and Naeini, H.M., "External force-assisted laser forming process for gaining high bending angles", *Journal of Manufacturing Processes*, Vol. 14, pp. 269-276, (2012).
22. Banhart, J. "Manufacture, Characterization and Application of Cellular Metals and Metal Foam", *Progress in Materials Science*, Vol. 46, pp. 559-632, (2001).
23. Ashby, M.F., Evans, A.G., Fleck, N.A., Gibson, L.J., Hutchinson, J.W. and Wadley, H.N.G, "Metal Foams: A Design Guide", Woburn: Butterworth-Heinemann publication. Inc., Woburn, pp. 1-5, (2000).
24. Quadrini, F., Guglielmotti, A., Squeo, E.A. and Tagliaferri, V., "Laser Forming of Open-cell Aluminium Foams, *Journal of Materials Processing Technology*", Vol. 210, pp. 1517-1522, (2010).
25. Design Expert. Software 7.0.0, Stat-Ease, Inc. 2005, Help Section.